

623
5

330
1-7

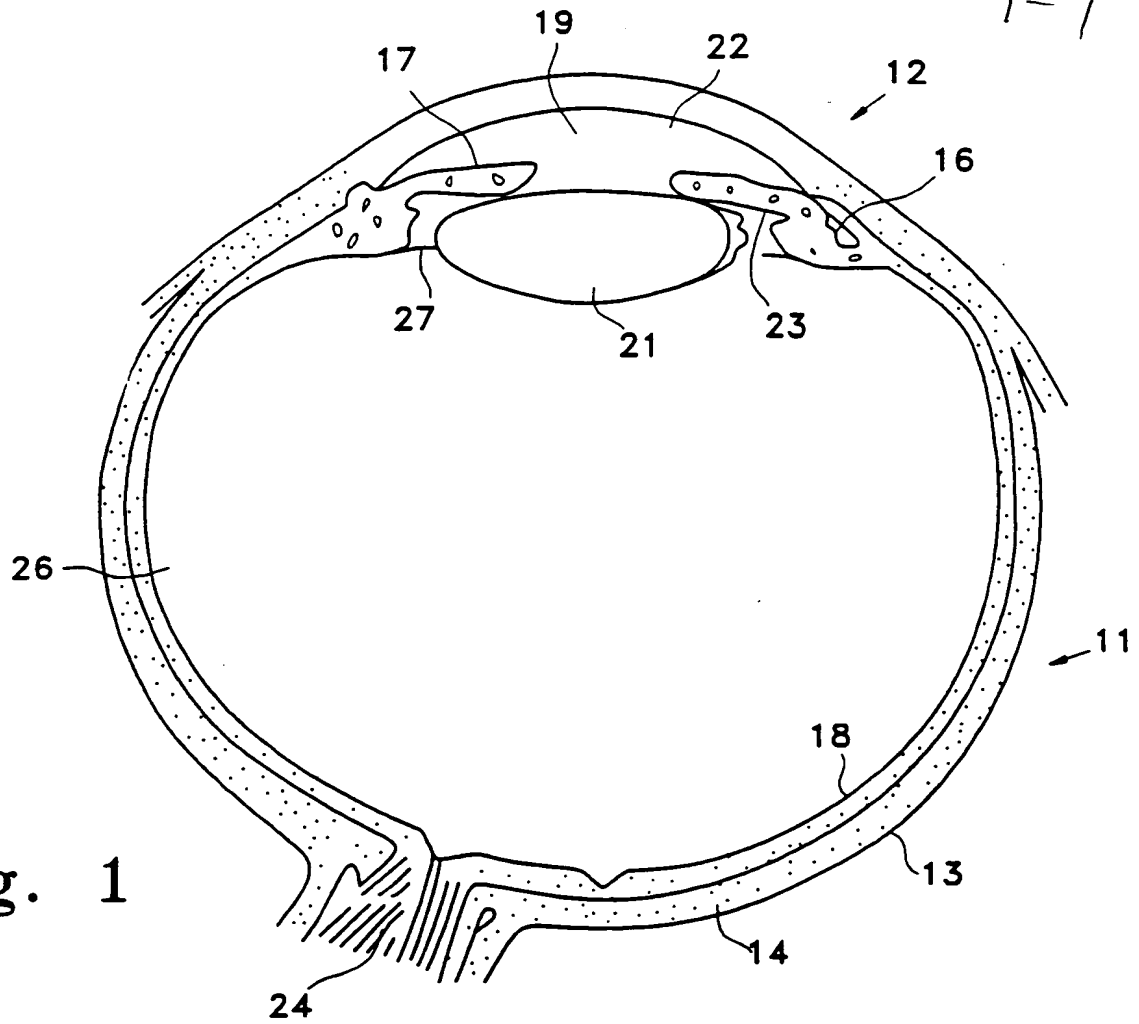


Fig. 1

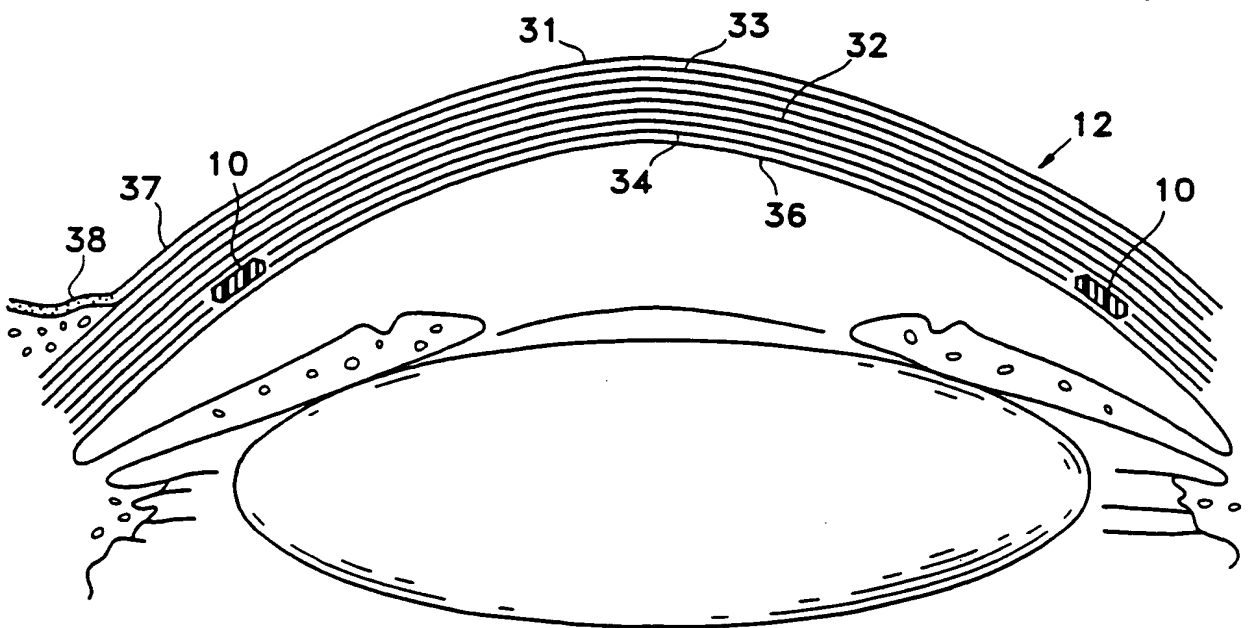
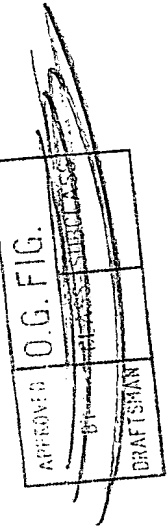


Fig. 2



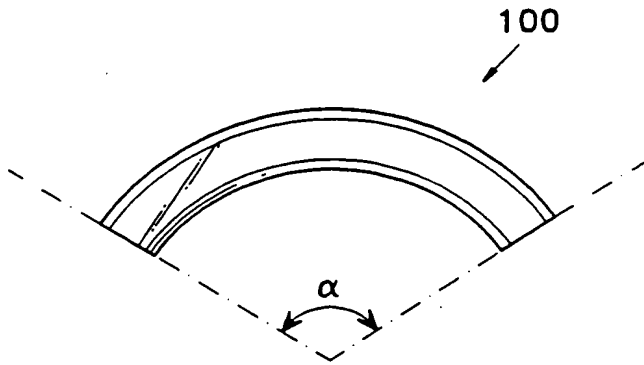


Fig. 3A

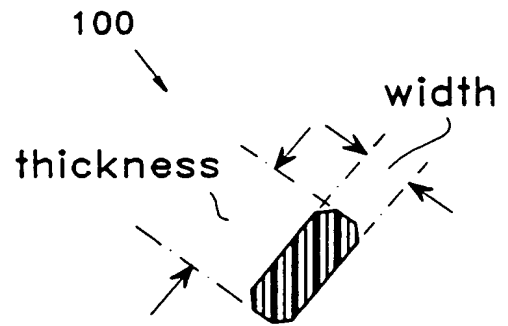


Fig. 3B

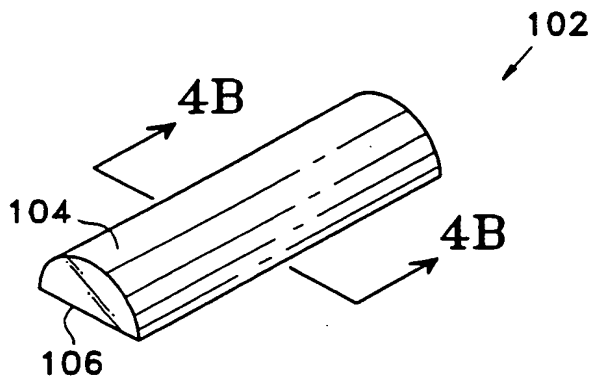


Fig. 4A

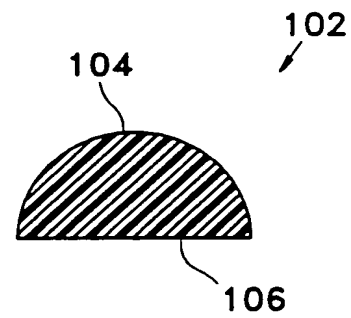


Fig. 4B

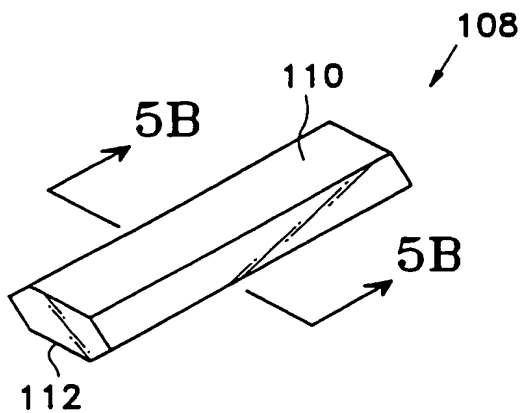


Fig. 5A

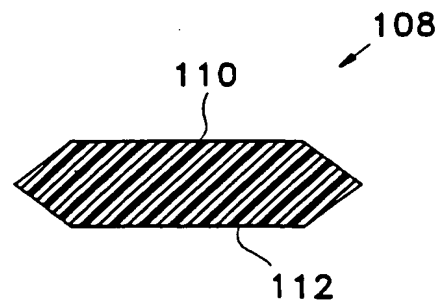


Fig. 5B

APPROVED 06-FIG
BY CLARK-SUBCLAS
DRAFTSMAN

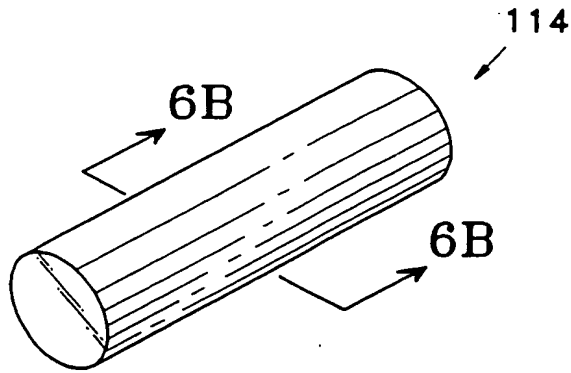


Fig. 6A

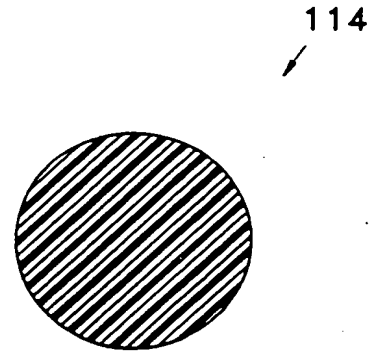


Fig. 6B

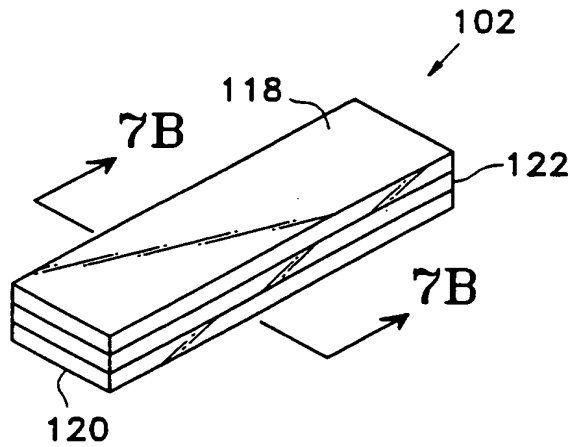


Fig. 7A

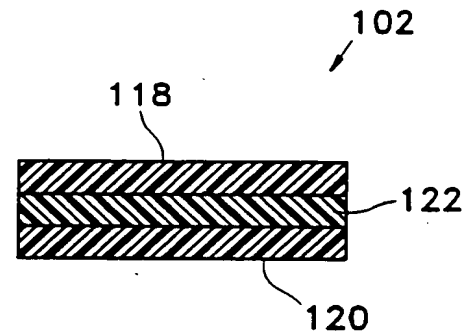


Fig. 7B

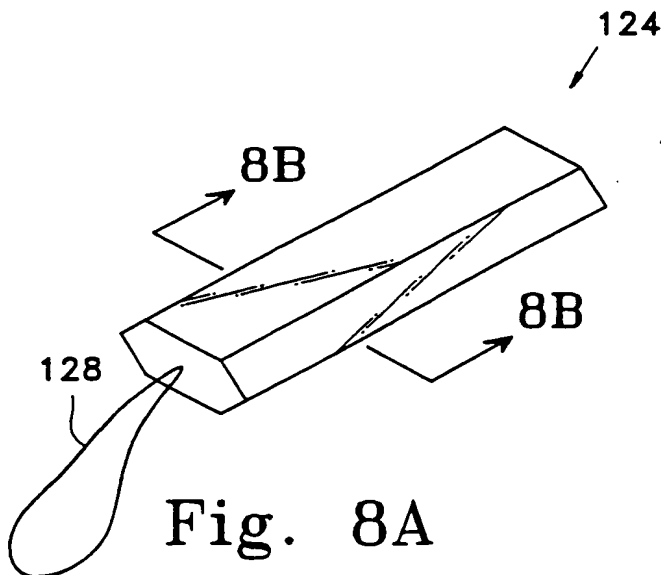


Fig. 8A

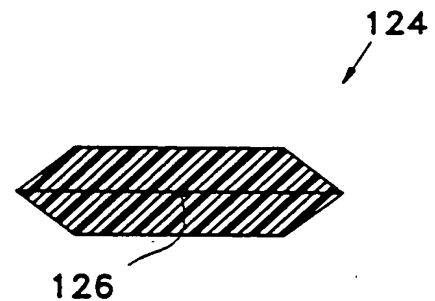


Fig. 8B

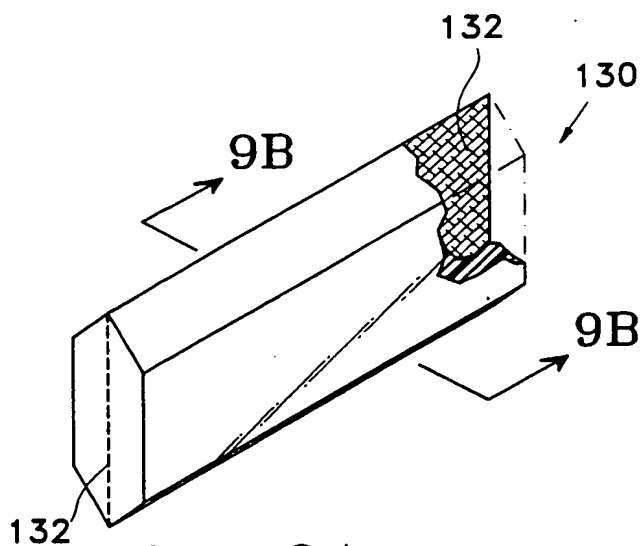


Fig. 9A

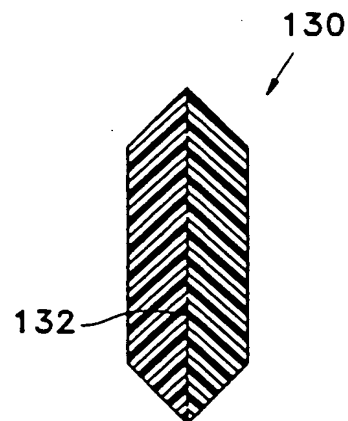


Fig. 9B

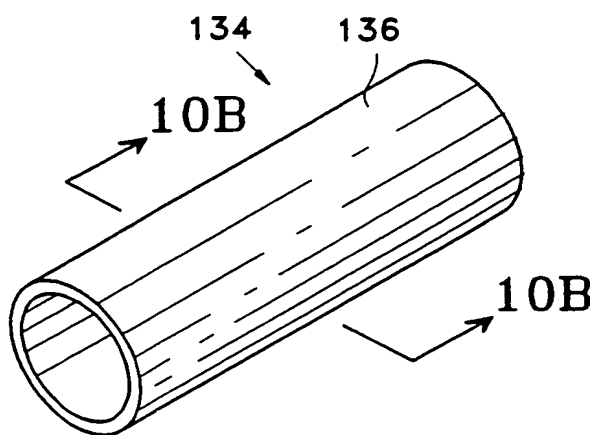


Fig. 10A

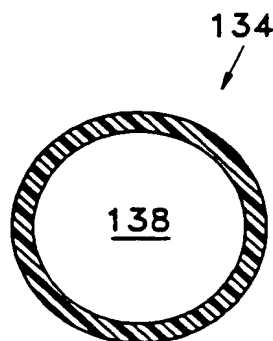


Fig. 10B

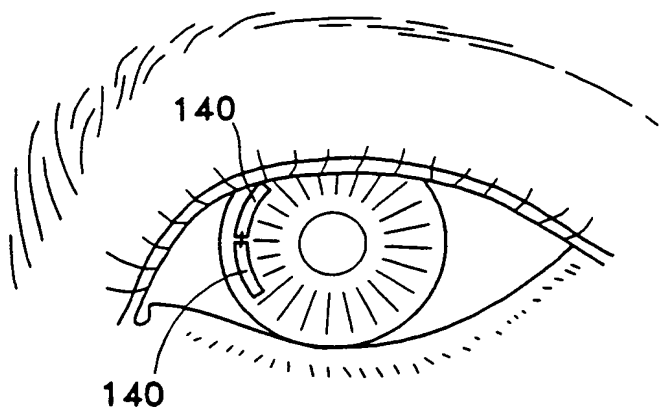


Fig. 11

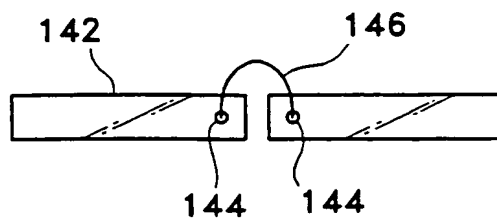


Fig. 12

08/596221

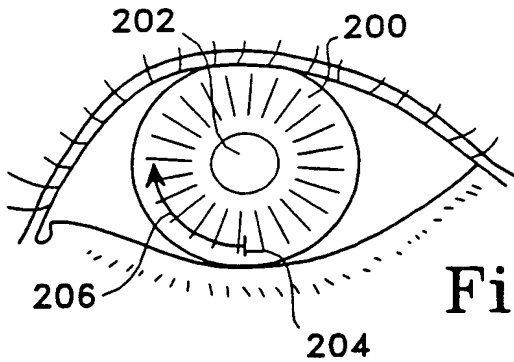


Fig. 14A

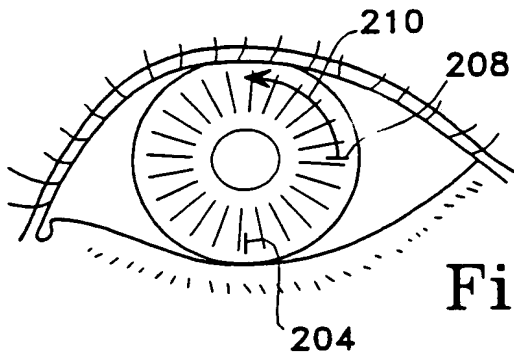


Fig. 14B

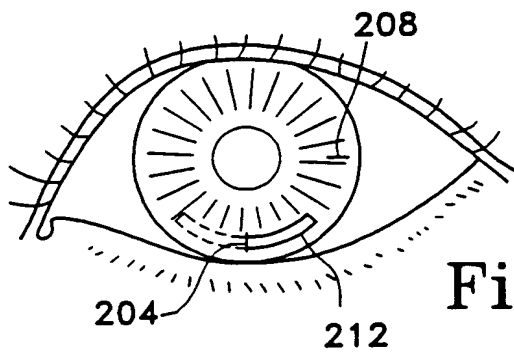


Fig. 14C

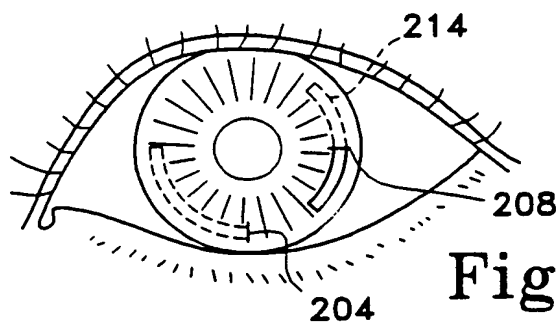


Fig. 14D

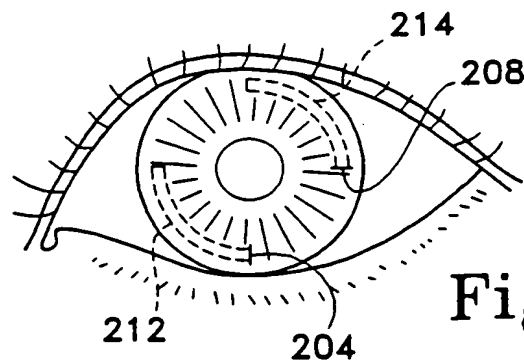


Fig. 14E

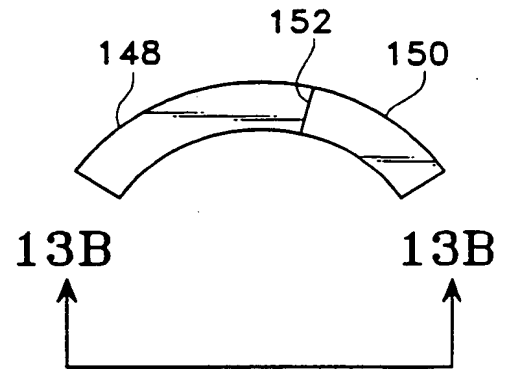


Fig. 13A

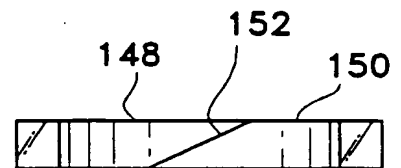


Fig. 13B

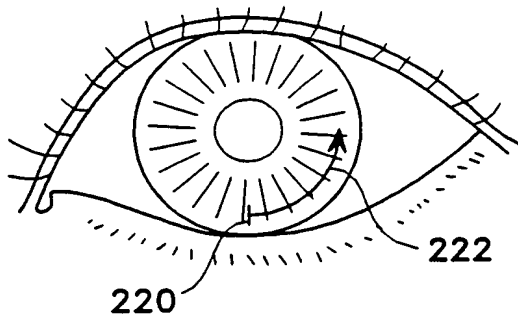


Fig. 15A

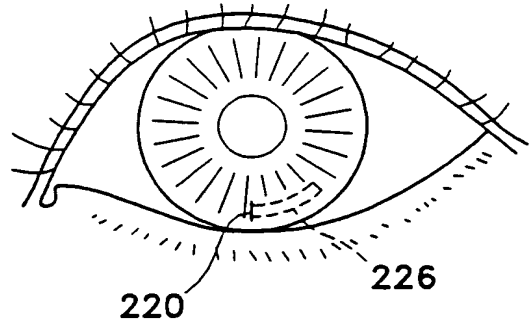


Fig. 15D

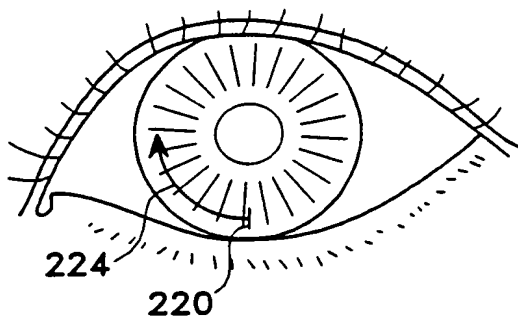


Fig. 15B

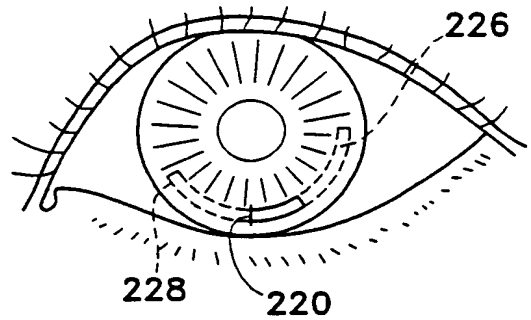


Fig. 15E

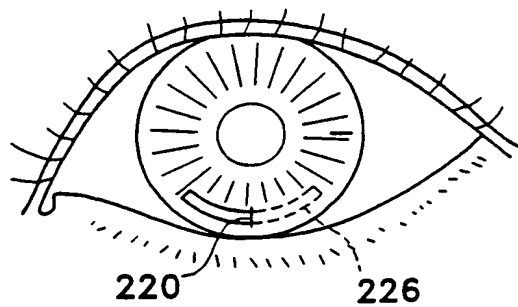


Fig. 15C

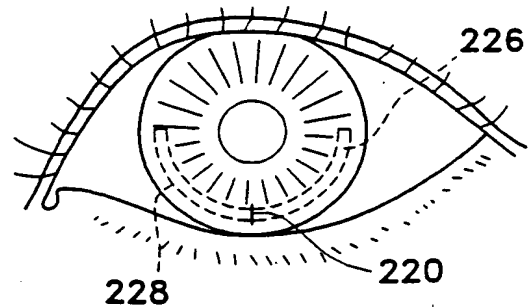


Fig. 15F

Fig. 16A

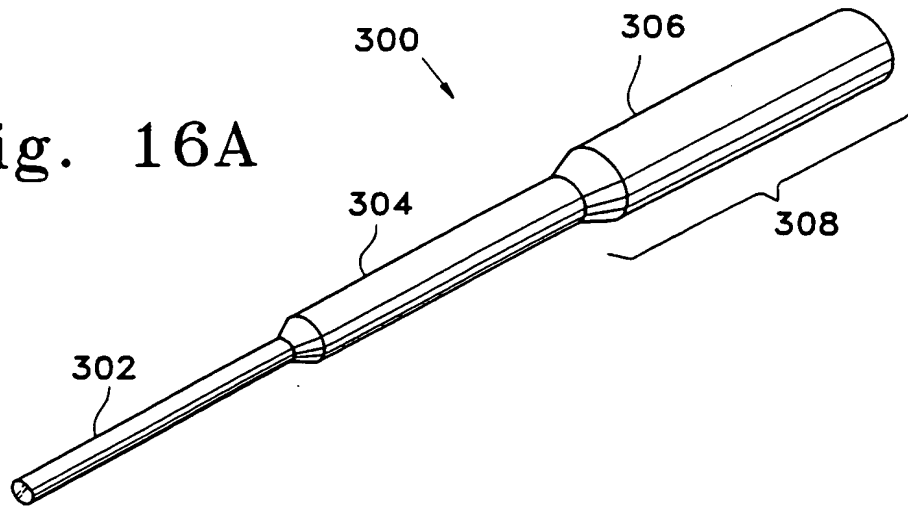


Fig. 16B

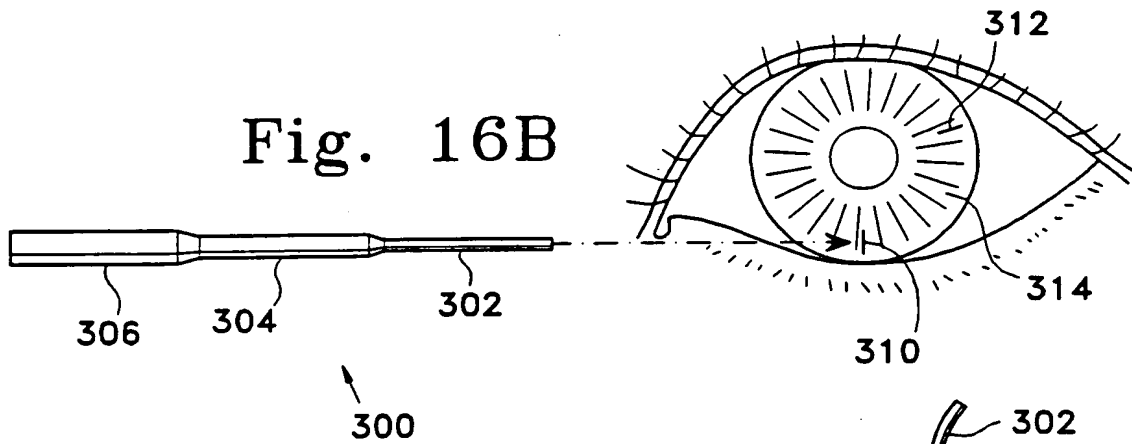


Fig. 16C

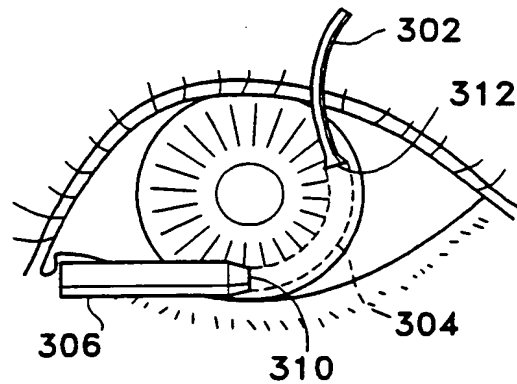


Fig. 16D

